

Министерство науки и высшего образования Российской Федерации
федеральное государственное автономное образовательное учреждение высшего образования
«НАЦИОНАЛЬНЫЙ ИССЛЕДОВАТЕЛЬСКИЙ УНИВЕРСИТЕТ ИТМО»

Отчет
по лабораторной работе №1
по дисциплине «**Частотные методы**»
по теме «**Ряды Фурье**»

Выполнил: Братушка Н. И.

Факультет: СУиР

Группа: R3238

Поток: ЧМ 1.4

Преподаватель: Перегудин А. А.

ИТМО

Санкт-Петербург 2024

Оглавление

Ряд Фурье.....	3
Задание 1.....	4
Квадратная волна.....	4
Коэффициенты Фурье.....	4
Графики $FN(t)$ и $GN(t)$	7
Равенство Парсеваля.....	9
Четная функция.....	10
Коэффициенты Фурье.....	10
Графики $FN(t)$ и $GN(t)$	11
Равенство Парсеваля.....	12
Нечетная функция.....	12
Коэффициенты Фурье.....	13
Графики $FN(t)$ и $GN(t)$	14
Равенство Парсеваля.....	15
Функция общего вида.....	15
Коэффициенты Фурье.....	16
Графики $FN(t)$ и $GN(t)$	17
Равенство Парсеваля.....	18
Задание 2.....	18
Коэффициенты Фурье.....	19
Графики $GN(t)$	20
Графики $Reft$, $Imft$, $ReGN(t)$, $ImGN(t)$	20
Равенство Парсеваля.....	22
Выводы.....	22

Ряд Фурье

Ряд Фурье позволяет представить периодическую функцию $f(t)$ с периодом T в виде тригонометрического ряда:

$$f(t) = \frac{a_0}{2} + \sum_{n=1}^{\infty} (a_n \cos(\omega_n t) + b_n \sin(\omega_n t)),$$

где

$$a_n = \frac{2}{T} \int_h^{h+T} f(t) \cdot \cos(\omega_n t) dt, \quad b_n = \frac{2}{T} \int_h^{h+T} f(t) \cdot \sin(\omega_n t) dt,$$
$$\omega_n = \frac{2\pi n}{T},$$

h – начало промежутка, на котором происходит разложение функции.

Этот ряд может быть также представлен в комплексной форме:

$$f(t) = \sum_{n=-\infty}^{\infty} c_n e^{i\omega_n t},$$

где

$$c_n = \frac{1}{T} \int_h^{h+T} f(t) \cdot e^{-i\omega_n t} dt.$$

Задание 1

Квадратная волна

Выберем числа $a = 2, b = 1, t_0 = 1, t_1 = 3, t_2 = 5$. Тогда получим функцию с периодом $T = 4$:

$$f(t) = \begin{cases} 2, & t \in [1, 3), \\ 1, & t \in [3, 5). \end{cases}$$

График функции приведен на рисунке 1 (см. ниже).

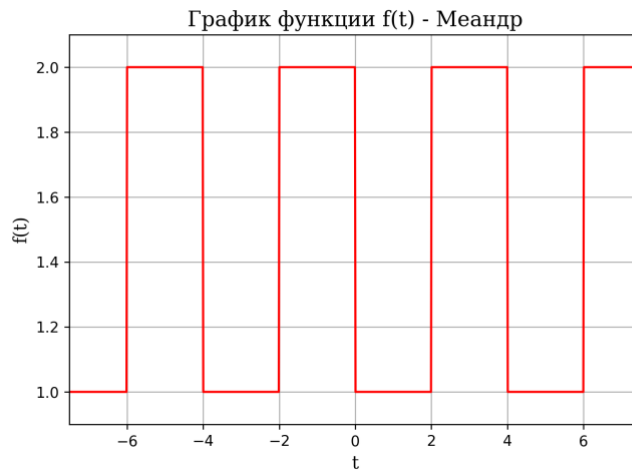


Рис. 1 График функции $f_1(t)$

Коэффициенты Фурье

Вычислим коэффициенты a, b, c для $n = 0, 1, 2$

$$\begin{aligned} a_n &= \frac{2}{T} = \frac{2}{4} \int_1^3 2 \cos\left(\frac{1}{4}(2\pi tn)\right) dt \\ &+ \frac{2}{4} \int_3^5 \cos\left(\frac{1}{4}(2\pi tn)\right) dt = \frac{2 \left(\sin\left(\frac{3\pi n}{2}\right) - \sin\left(\frac{\pi n}{2}\right) \right)}{\pi n} \\ &+ \frac{\sin\left(\frac{3\pi n}{2}\right) - \sin\left(\frac{5\pi n}{2}\right)}{\pi n} = \frac{3\sin\left(\frac{3\pi n}{2}\right) - 2\sin\left(\frac{\pi n}{2}\right) - \sin\left(\frac{5\pi n}{2}\right)}{\pi n} \\ c_n &= \frac{1}{T} \int_h^{h+T} f(t) e^{-i\omega_i t} dt = \frac{1}{4} \int_1^3 2 e^{-i\omega_i t} dt + \frac{1}{4} \int_3^5 e^{-i\omega_i t} dt \end{aligned}$$

$$\begin{aligned}
b_n &= \frac{2}{T} \int_h^{h+T} f(t) \sin(\omega_n t) dt \\
&= \frac{2}{4} \int_1^3 2 \sin\left(\frac{1}{4}(2\pi t n)\right) dt \\
&\quad + \frac{2}{4} \int_3^5 \sin\left(\frac{1}{4}(2\pi t n)\right) dt \\
&= \frac{2 \left(\cos\left(\frac{\pi n}{2}\right) - \cos\left(\frac{3\pi n}{2}\right) \right)}{\pi n} + \frac{(\cos\left(\frac{3\pi n}{2}\right) - \cos\left(\frac{5\pi n}{2}\right))}{\pi n} \\
&= \frac{2 \cos\left(\frac{\pi n}{2}\right) - \cos\left(\frac{3\pi n}{2}\right) - \cos\left(\frac{5\pi n}{2}\right)}{\pi n}
\end{aligned}$$

Коэффициенты a_n, b_n, c_n связаны между собой, c_i и c_{-i} равны для вещественной функции, а значит c_n вычислять отдельно необходимости нет

$$c_n = \frac{a_n - i b_n}{2}$$

Подставим значения:

$$a_0 = \frac{2}{4} \int_1^5 f_1(t) dt = \frac{2}{4} \left(\int_1^3 2 dt + \int_3^5 dt \right) = \frac{2}{4} (t \Big|_1^3 + 4t \Big|_3^5) = \frac{2}{4} (4 + 2) = 3$$

Аналогично посчитаем для следующий значений:

$$a_1 \approx -1.9$$

$$a_2 = 0$$

$$b_1 = 0$$

$$b_2 = 0$$

$$c_{-2} = \bar{c}_2 = 0$$

$$c_{-1} = \bar{c}_1 = -0.95$$

$$c_0 = 1.5$$

Для вычисления коэффициентов более высокого порядка воспользуемся следующей программой:

```
def calculating_a(func, t, T, n):
    exp = lambda x: np.cos(2 * x * np.pi * n / T)
    result = np.round((2 / T) * dot_product(func, exp, t), 4)
    return result

def calculating_b(func, t, T, n):
    exp = lambda x: np.sin(2 * np.pi * n * x / T)
    result = np.round((2 / T) * dot_product(func, exp, t), 4)
    return result

def fourier_coefficients(func, t, T, n):
    c = [calculating_a(func, t, T, 0)]
    for i in range(1, n+1):
        c.append([calculating_a(func, t, T, i), calculating_b(func, t, T, i)])
    return c

def g_coefficients(func, t, T, n):
    g = []
    for i in range(-n, n+1):
        exp = lambda x: np.exp(-(1j * 2 * np.pi * i * x) / T)
        g.append((1/T)*(dot_product(func, exp, t)))
    return g
```

Листинг 1. Программа для расчёта коэффициентов Фурье

В результате выполнения программы (Листинг 1) получим следующие коэффициенты для $n = 3$:

n	a_n	b_n
0	3.001	-
1	-1.907	0.001
2	0.001	0.0
3	0.001	-0.001

Таблица 1. Коэффициенты Фурье для $n = 3$

n	c_n
-3	$0.0005-0.00049i$
-2	$0.0005-0.0005i$
-1	$0.95+0.0005i$
0	1.501
1	$-0.95-0.0005i$
2	$0.0005-0.0005i$
3	$0.0005-0.00049i$

Таблица 2. Коэффициенты Фурье для $n = 3$
(комплексная форма)

Графики $F_N(t)$ и $G_N(t)$

В качестве значений N возьмем $n = 3, 5, 10, 50, 100$.

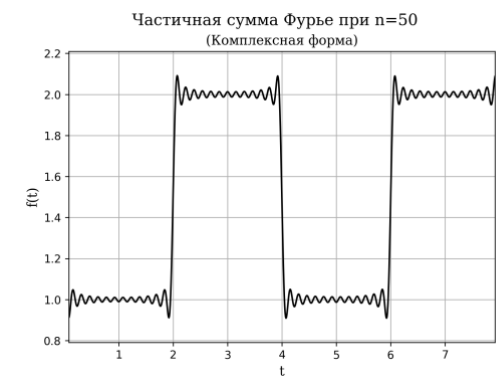
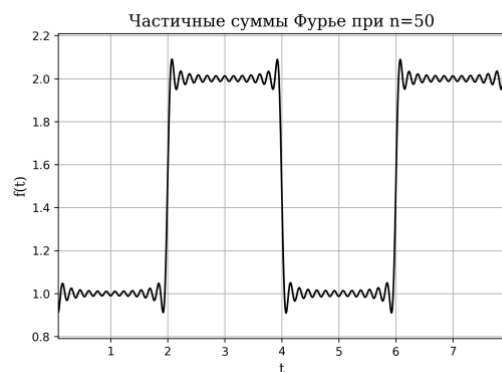
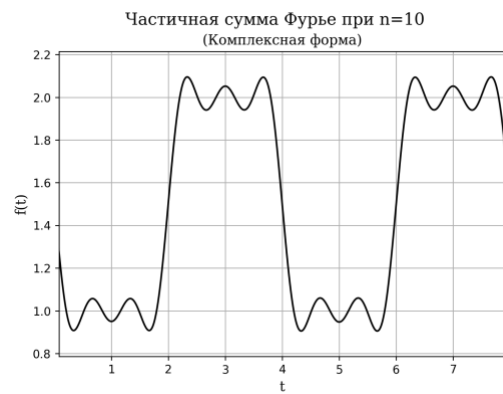
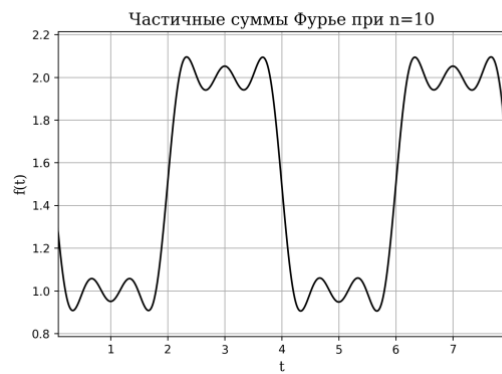
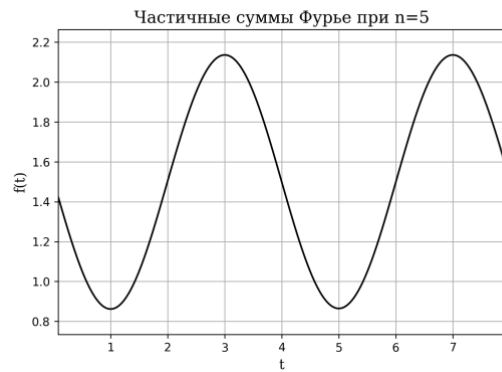
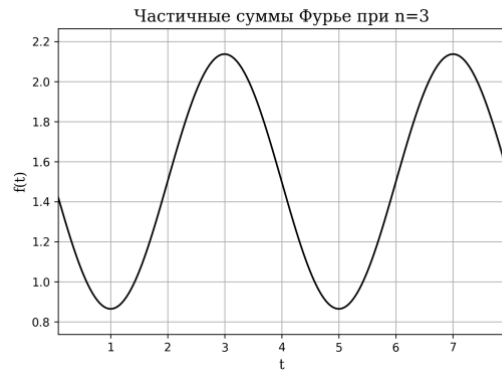


Рис. 2. Графики Функций $F_N(t)$ и $G_N(t)$

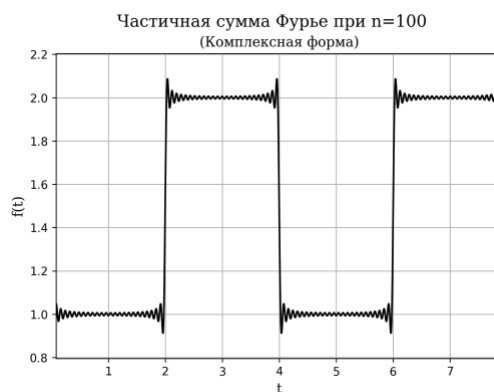
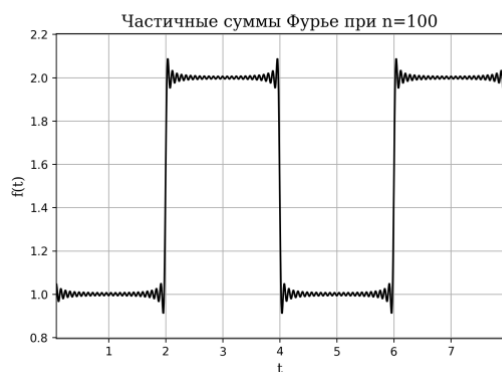


Рис. 3. Графики функций $F_N(t)$ и $G_N(t)$

Как мы можем заметить, графики функций абсолютно идентичны при равных значениях N (забегая наперёд, скажем, что это характерно для каждой функции). Поэтому далее в отчёте будут приводиться только общие графики (для более подробного рассмотрения графиков можно перейти по ссылке, в которой будут содержаться все графики). Более информативными для нас будут как раз общие графики, с помощью которых мы можем оценить степень приближения исходной функции рядом Фурье в зависимости от количества коэффициентов.

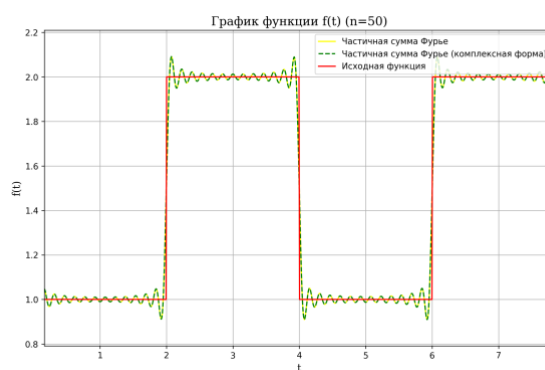
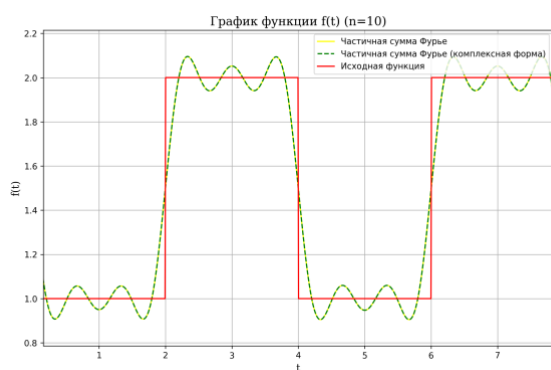
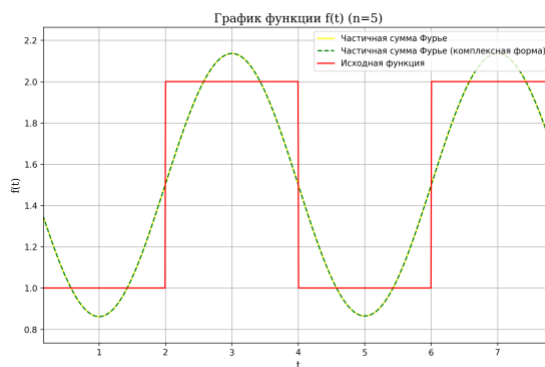
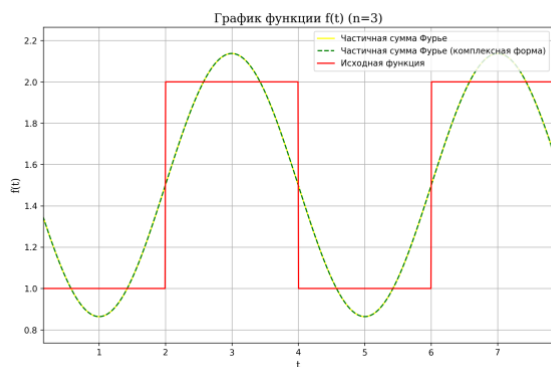


Рис. 4. Графики функций $F_N(t)$ и $G_N(t)$ и $f(t)$

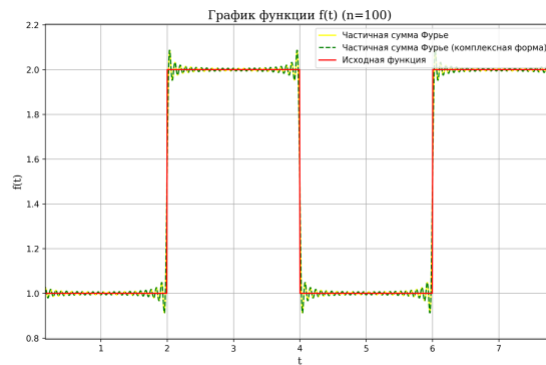


Рис. 5. Графики функций $F_N(t)$ и $G_N(t)$ и $f(t)$

Вполне очевидно, что при увеличении количества коэффициентов ряд Фурье приближается к исходной функции. Также стоит отметить одну интересную деталь: в точках разрыва (на фронтах) кусочно-постоянной функции появляются выбросы, которые обусловлены тем, что ряд Фурье сходится по норме, но не обязательно поточечно. Уже при $n = 50$ мы видим очень точное очертание исходной функции, которое не сходится поточечно, но позволяет нам представить приблизительный график функции. Также стоит отметить, что в частичные суммы Фурье неотличимы графически, то есть их графики совпадают.

Равенство Парсеваля

Для проверки данного равенства воспользуемся следующей программой:

```
def pars_check(func, n, t, label, T=2*np.pi,):
    norm_f = np.dot(func, func)*(t[1] - t[0])
    f_c = fourier_coefficients(func, t, T, n)
    g_c = g_coefficients(func, t, T, n)
    sm_ab = np.pi*((f_c[0] ** 2)/2 + sum(f_c[i][0] ** 2 + f_c[i][1] ** 2 for i in
range(1, n+1)))
    sm_c = 2*np.pi*sum(abs(g_c[i])**2 for i in range(len(g_c)))
    print(f'{label}:\nКвадрат нормы:{norm_f}\na: {sm_ab}\nc:{sm_c}\n')
```

Листинг 2. Программа для проверки равенства Парсеваля

Полученные результаты при $n = 200$ Отличаются на сотые доли, причем результаты коэффициентов (a_n, b_n) и c_n отличаются на тысячные:

Квадрат нормы $\ f\ ^2$	(a_n, b_n)	c_n
24.7239	24.7391	24.7385

Таблица 3. Равенство Парсеваля

Поэтому можно утверждать, что равенство выполняется.

Четная функция

В качестве четной функции с периодом $T = \pi$

$$f(t) = |\cos(t)|$$

График функции приведен на рисунке 6 (см. ниже).

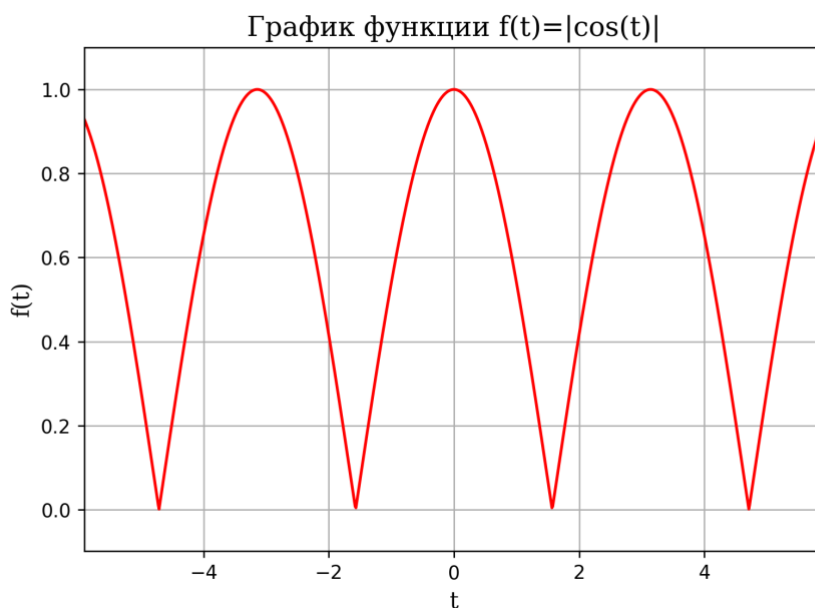


Рис. 6. График функции $f_2(t)$

Коэффициенты Фурье

Вычисление коэффициентов a, b, c :

$$a_n = \frac{2}{\pi} \int_{-\pi}^0 |\cos(t)| \cos(nt) dt$$

$$b_n = \frac{2}{\pi} \int_{-\pi}^0 |\cos(t)| \sin(nt) dt$$

$$c_n = \frac{1}{\pi} \int_{-\pi}^0 |\cos(t)| e^{-int} dt$$

В результате выполнения программы (Листинг 1) получим следующие коэффициенты для $n = 3$:

n	a_n	b_n
0	1.2752	-
1	-0.002	0.0
2	0.002	0.0
3	-0.002	0.0

Таблица 4. Коэффициенты Фурье для $n = 3$

n	c_n
-3	$-0.001-5.699e^{-18}i$
-2	$0.001-1.04e^{-17}i$
-1	$-0.001-3.05e^{-17}i$
0	0.6376
1	$-0.001+3.05e^{-17}i$
2	$0.001-1.04e^{-17}i$
3	$-0.001+5.699e^{-18}i$

Таблица 5. Коэффициенты Фурье для $n = 3$
(комплексная форма)

Графики $F_N(t)$ и $G_N(t)$

В качестве значений N возьмем $n = 3, 5, 10, 15, 50$.

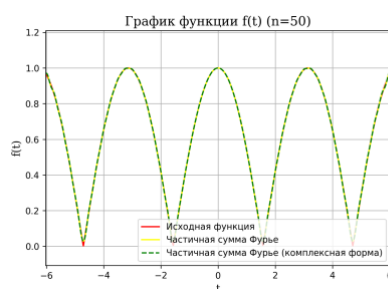
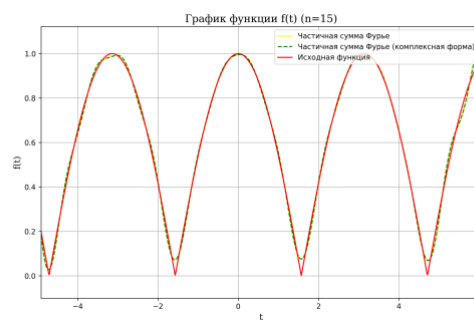
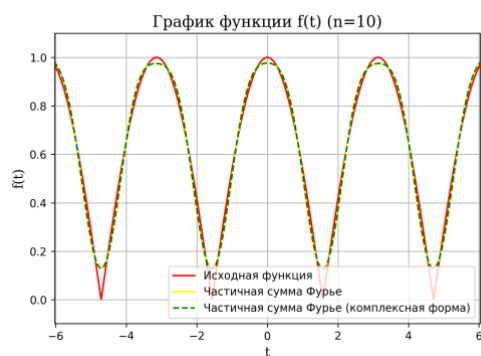
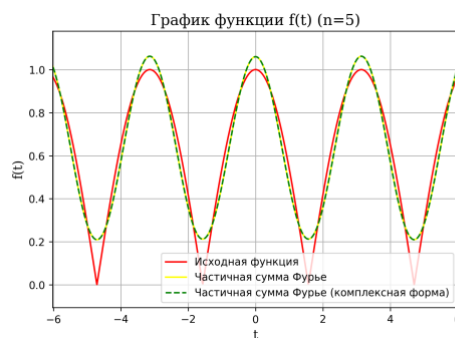
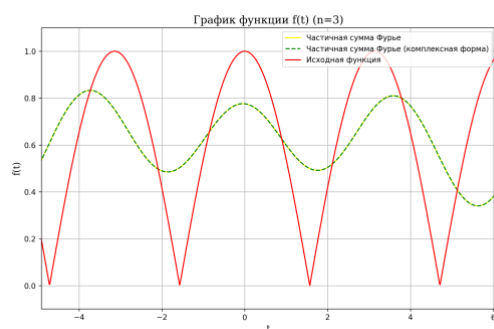


Рис. 7 Графики функций $F_N(t)$ и $G_N(t)$ и $f(t)$

Уже при $n=10$ графики частичных сумм Фурье почти совпадают с исходным графиком. А при $n=50$ графики становятся неотличимы, за исключением значений исходной функции, близких к 0.

Равенство Парсеваля

Для проверки данного равенства воспользуемся программой (см. Листинг 2). Полученные результаты при $n = 200$ Отличаются на сотые доли, причем результаты коэффициентов (a_n, b_n) и c_n отличаются на тысячные:

Квадрат нормы $\ f\ ^2$	(a_n, b_n)	c_n
3.1479	3.1565	3.1567

Таблица 6. Равенство Парсеваля

Поэтому можно утверждать, что равенство выполняется.

Нечетная функция

В качестве нечетной функции с периодом $T = 2\pi$

$$f(t) = \sin(3t) \cos(4t)$$

График функции приведен на рисунке 8 (см. ниже).

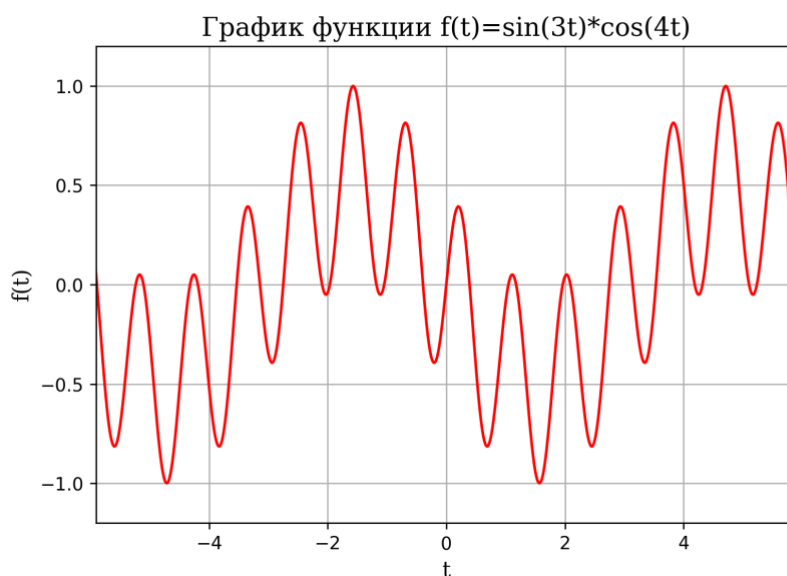


Рис. 8. График функции $f_3(t)$

Коэффициенты Фурье

Вычисление коэффициентов a, b, c :

$$a_n = \frac{1}{\pi} \int_{-\pi}^{\pi} \sin(3t) \cos(4t) \cos(nt) dt$$

$$b_n = \frac{1}{\pi} \int_{-\pi}^{\pi} \sin(3t) \cos(4t) \sin(nt) dt$$

$$c_n = \frac{1}{2\pi} \int_{-\pi}^{\pi} \sin(3t) \cos(4t) e^{-int} dt$$

В результате выполнения программы (Листинг 1) получим следующие коэффициенты для $n = 3$:

n	a_n	b_n
0	0.0	-
1	0.0	0.0
2	0.0	-0.5
3	0.0	0.0

Таблица 7. Коэффициенты Фурье для $n = 3$

n	c_n
-3	$1.122e^{-18} + 1.039e^{-17}i$
-2	$-4.1997e^{-18} - 0.25i$
-1	$2.742e^{-17} + 1.1718e^{-18}i$
0	$1.238e^{-18}$
1	$2.742e^{-17} - 1.1718e^{-18}i$
2	$-4.1997e^{-18} + 0.25i$
3	$1.122e^{-18} - 1.039e^{-17}i$

Таблица 8. Коэффициенты Фурье для $n = 3$
(комплексная форма)

Графики $F_N(t)$ и $G_N(t)$

В качестве значений N возьмем $n = 3, 5, 10, 15, 50$.

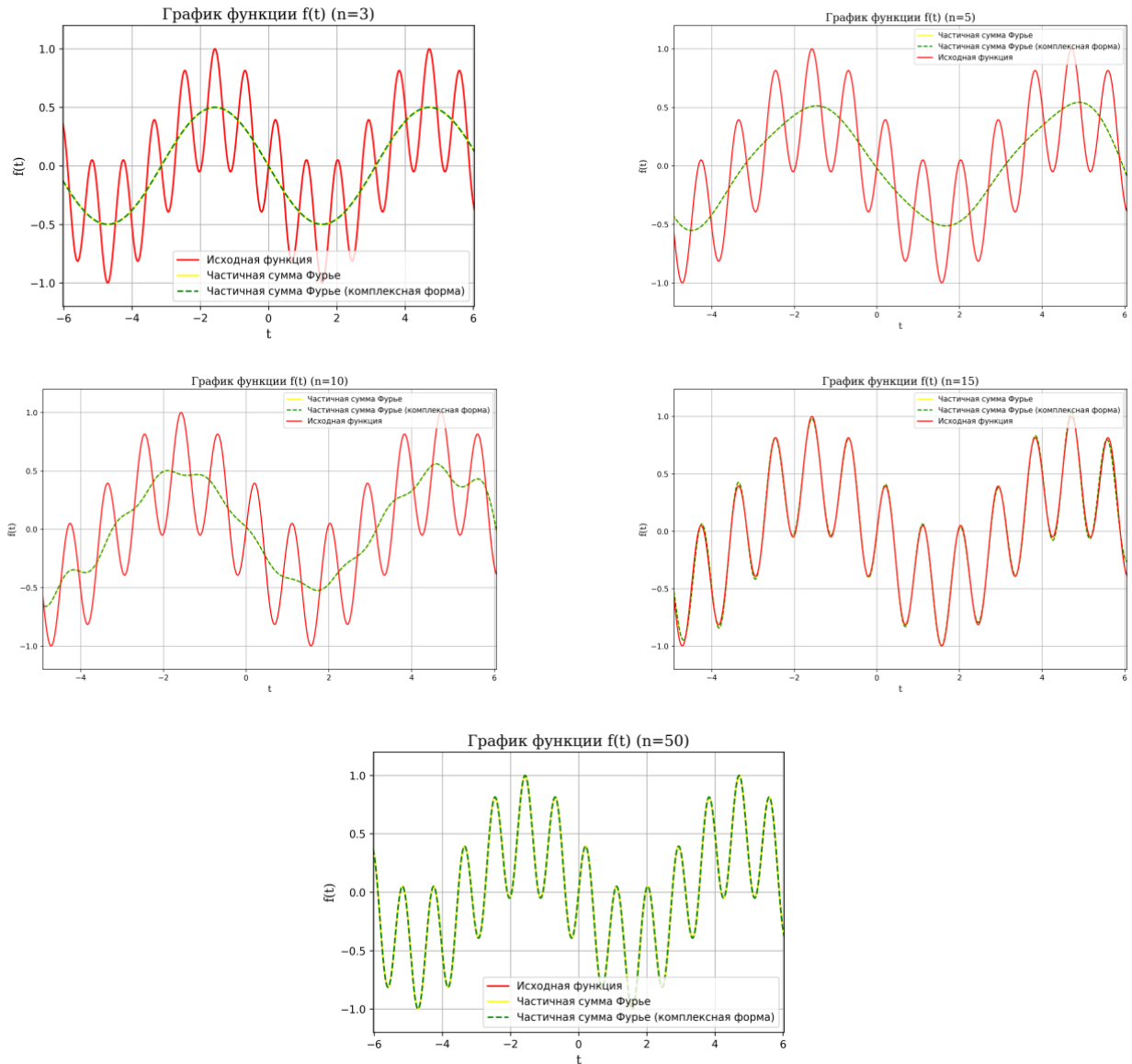


Рис. 9 Графики функций $F_N(t)$ и $G_N(t)$ и $f(t)$

В данном случае при коэффициентах $n=3, 5, 10$ графики частичных сумм вряд ли походят на исходный, однако при $n=15$ график уже почти идентичен исходному.

Равенство Парсеваля

Для проверки данного равенства воспользуемся программой (см. Листинг 2).

Полученные результаты при $n = 200$ в этот раз почти не отличаются, вплоть до 13 знака после запятой!

Квадрат нормы $\ f\ ^2$	(a_n, b_n)	c_n
1.5707963267948877	1.5707963267948966	1.5707963267948777

Таблица 9. Равенство Парсеваля

Поэтому можно утверждать, что равенство выполняется.

Функция общего вида

В качестве функции общего вида с периодом $T = 2\pi$

$$f(t) = \sin(3t) + \cos(t - 5)$$

График функции приведен на рисунке 9 (см. ниже).

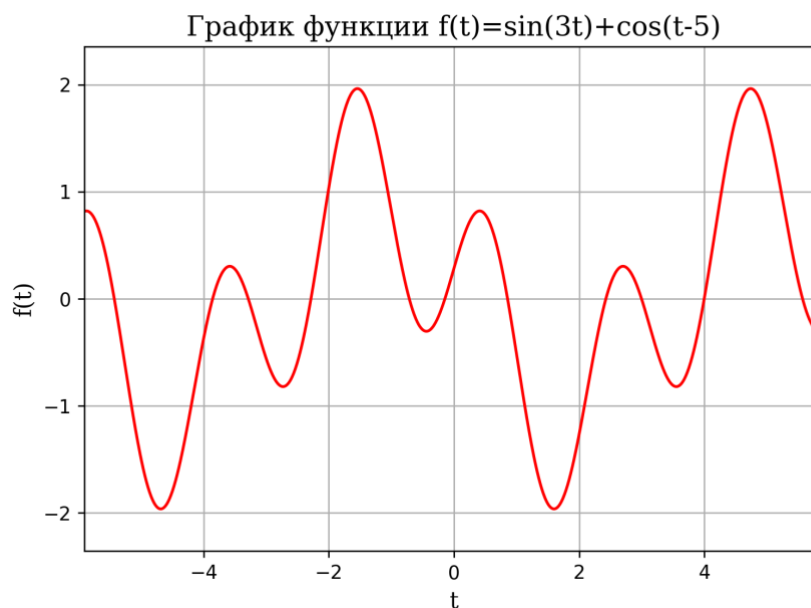


Рис. 10. График функции $f_4(t)$

Коэффициенты Фурье

Вычисление коэффициентов a, b, c :

$$a_n = \frac{1}{\pi} \int_{-\pi}^{\pi} (\sin(3t) + \cos(t - 5)) \cos(nt) dt$$

$$b_n = \frac{1}{\pi} \int_{-\pi}^{\pi} (\sin(3t) + \cos(t - 5)) \sin(nt) dt$$

$$c_n = \frac{1}{2\pi} \int_{-\pi}^{\pi} (\sin(3t) + \cos(t - 5)) e^{-int} dt$$

В результате выполнения программы (Листинг 1) получим следующие коэффициенты для $n = 3$:

n	a_n	b_n
0	0.0006	-
1	-0.0006	0.0
2	0.2842	-0.9589
3	-0.0006	0.0

Таблица 10. Коэффициенты Фурье для $n = 3$

n	c_n
-3	$-0.00028 + 2.951e^{-17}i$
-2	$0.142 - 0.4795i$
-1	$-0.00028 - 4.314e^{-18}i$
0	0.00028
1	$-0.00028 + 4.314e^{-18}i$
2	$0.142 + 0.4795i$
3	$-0.00028 - 2.951e^{-17}i$

Таблица 11. Коэффициенты Фурье для $n = 3$
(комплексная форма)

Графики $F_N(t)$ и $G_N(t)$

В качестве значений N возьмем $n = 3, 5, 10, 15, 50$.

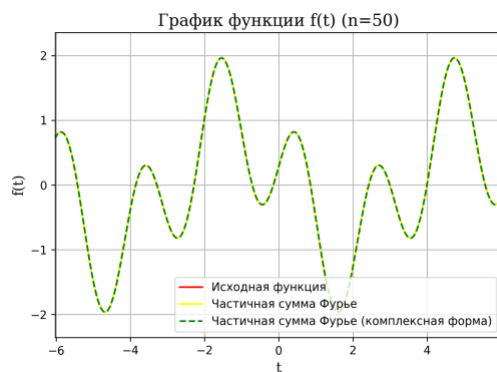
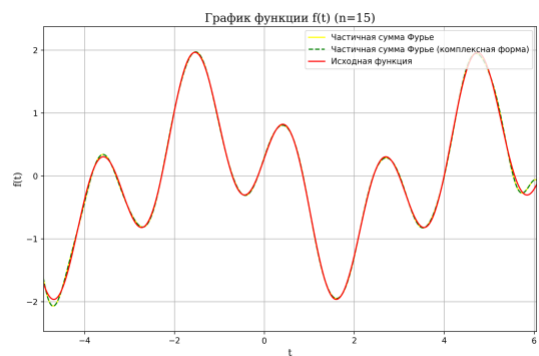
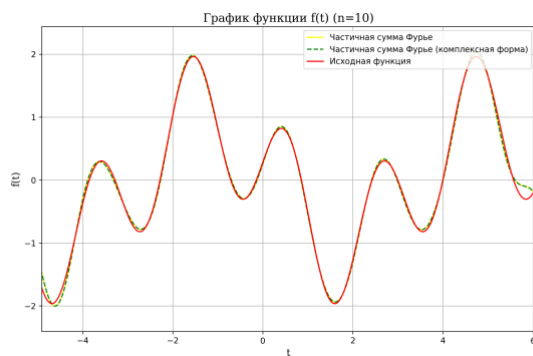
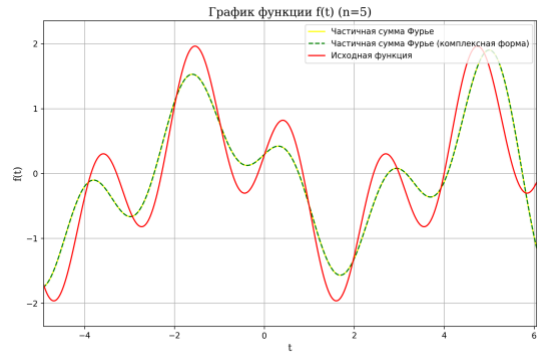
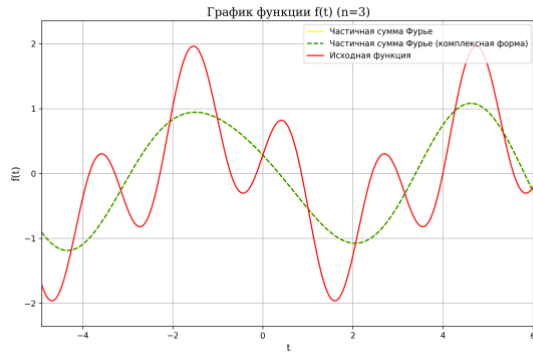


Рис. 11 Графики функций $F_N(t)$ и $G_N(t)$ и $f(t)$

При $n=5$ графики частичных сумм уже близки по поведению с исходным графиком. При $n=10$ и далее графики почти полностью повторяют график исходной функции. При $n=50$ мы получаем полное совпадение.

Равенство Парсеваля

Для проверки данного равенства воспользуемся программой (см. Листинг 2).

Полученные результаты при $n = 200$ в этот раз отличаются третьим и последующими знаками после запятой. Поэтому можно говорить о выполнении неравенства.

Квадрат нормы $\ f\ ^2$	(a_n, b_n)	c_n
6.283	6.284	6.284

Таблица 12. Равенство Парсеваля

Задание 2

Наша комплексная функция выглядит следующим образом:

$$Ref(t) = \begin{cases} 2, & t \in [-1, 1) \\ 4 - 2t, & t \in [1, 3) \\ -2, & t \in [3, 5) \\ -12 + 2t, & t \in [5, 7) \end{cases} \quad Imf(t) = \begin{cases} 2t, & t \in [-1, 1) \\ 2, & t \in [1, 3) \\ 8 - 2t, & t \in [3, 5) \\ -2, & t \in [5, 7) \end{cases}$$

Параметрический график выглядит следующим образом:

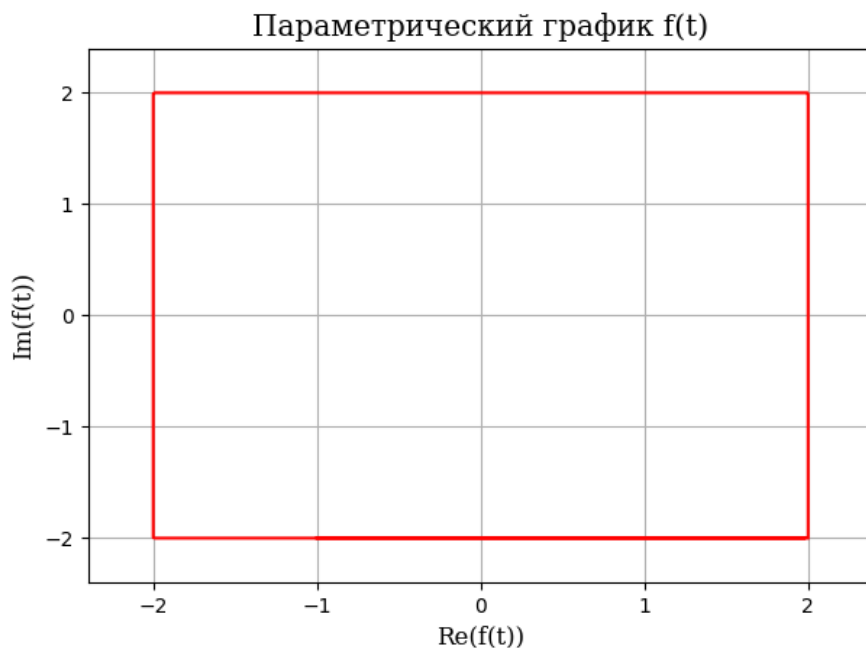


Рис. 12. Параметрический график $f(t)$

Коэффициенты Фурье

$$\begin{aligned}
 c_n &= \frac{1}{8} \int_{-1}^7 f(t) e^{-i\omega_i t} dt \\
 &= \frac{1}{8} \int_{-1}^1 (2 + 2ti) e^{-i\omega_i t} dt + \frac{1}{8} \int_1^3 (4 - 2t + 2i) e^{-i\omega_i t} dt \\
 &\quad + \frac{1}{8} \int_3^5 (-2 + (8 - 2t)i) e^{-i\omega_i t} dt + \frac{1}{8} \int_5^7 (-12 + 2t - 2i) e^{-i\omega_i t} dt
 \end{aligned}$$

С помощью следующей программы получим значения коэффициентов для $n = 0, 1, 2$ и 3 :

```
def function(t):
    r, img = -1, -2
    if -(T/8) <= t < (T/8):
        r, img = R, 8*R*t/T
    elif (T/8) <= t < (3*T/8):
        r, img = 2*R-8*R*t/T, R
    elif (3*T/8) <= t < (5*T/8):
        r, img = -R, 4*R-8*R*t/T
    elif (5*T/8) <= t < (7*T/8):
        r, img = -6*R+8*R*t/T, -R
    return r + img*1j

def g_coefficients(func, t, T, n):
    g = []
    for i in range(-n, n+1):
        exp = lambda x: np.exp(-(1j * 2 * np.pi * i * x) / T)
        g.append((1/T)*(dot_product(func, exp, t)))
    return np.array(g)
```

Листинг 3. Программа для вычисления коэффициентов Фурье (комплексная функция)

Результат:

n	c_n
-3	-0.256+0.0021i
-2	-0.0021+0.001i
-1	-0.0021-0.00071i
0	-0.001-0.002i
1	2.293-0.002i
2	0.002i-0.00099i
3	0.0021+0.00071i

Таблица 13. Коэффициенты Фурье для $n=3$

Графики $G_N(t)$

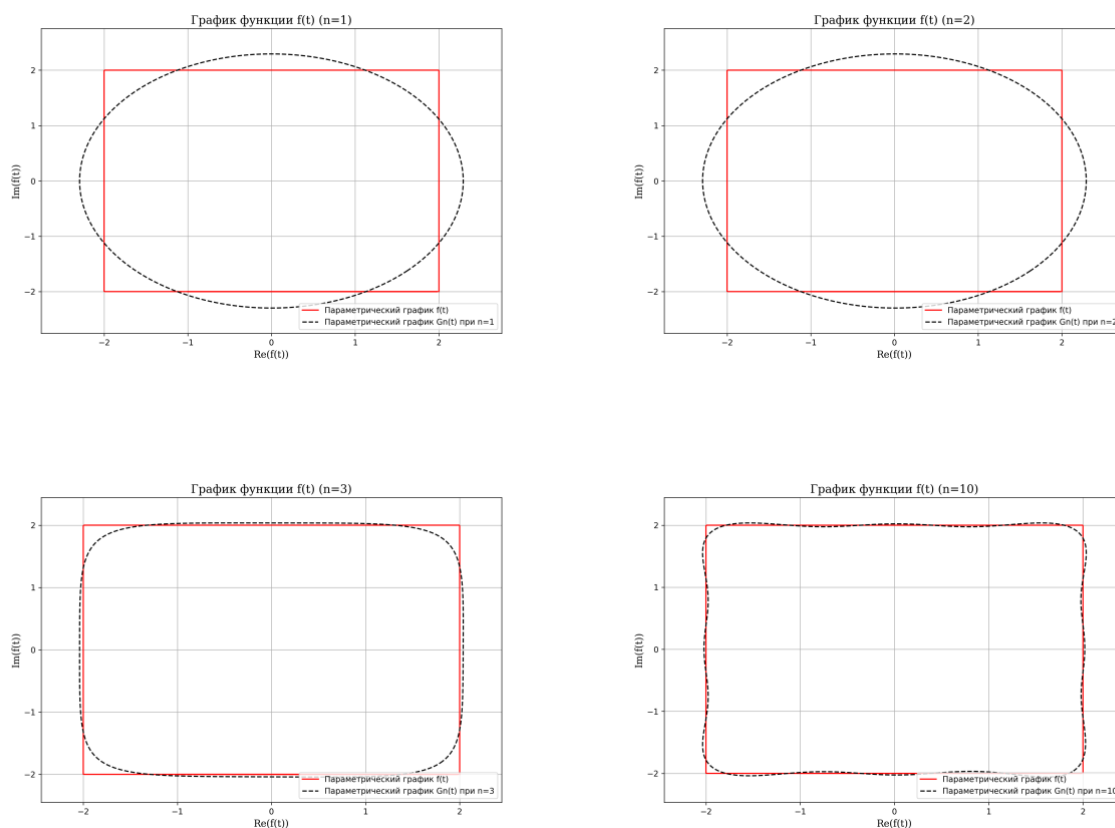


Рис. 13. Графики $G_N(t)$ и $f(t)$

Можно заметить, что, как и в случае с вещественными функциями, увеличение количества коэффициентов приводит к более точному приближению исходной функции. При $n=1, 2$, график суммы является эллипсом, при $n=3$ он уже принимает более похожую на исходный график форму. При $n = 10$ приближенный график довольно точно повторяет исходный контур.

Графики $Re f(t), Im f(t), Re G_N(t), Im G_N(t)$

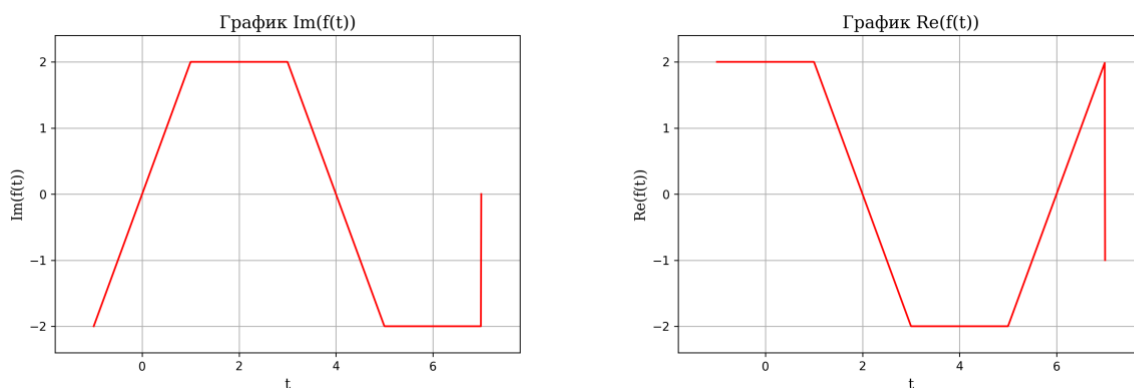


Таблица 14. Графики $Im f(t), Re f(t)$

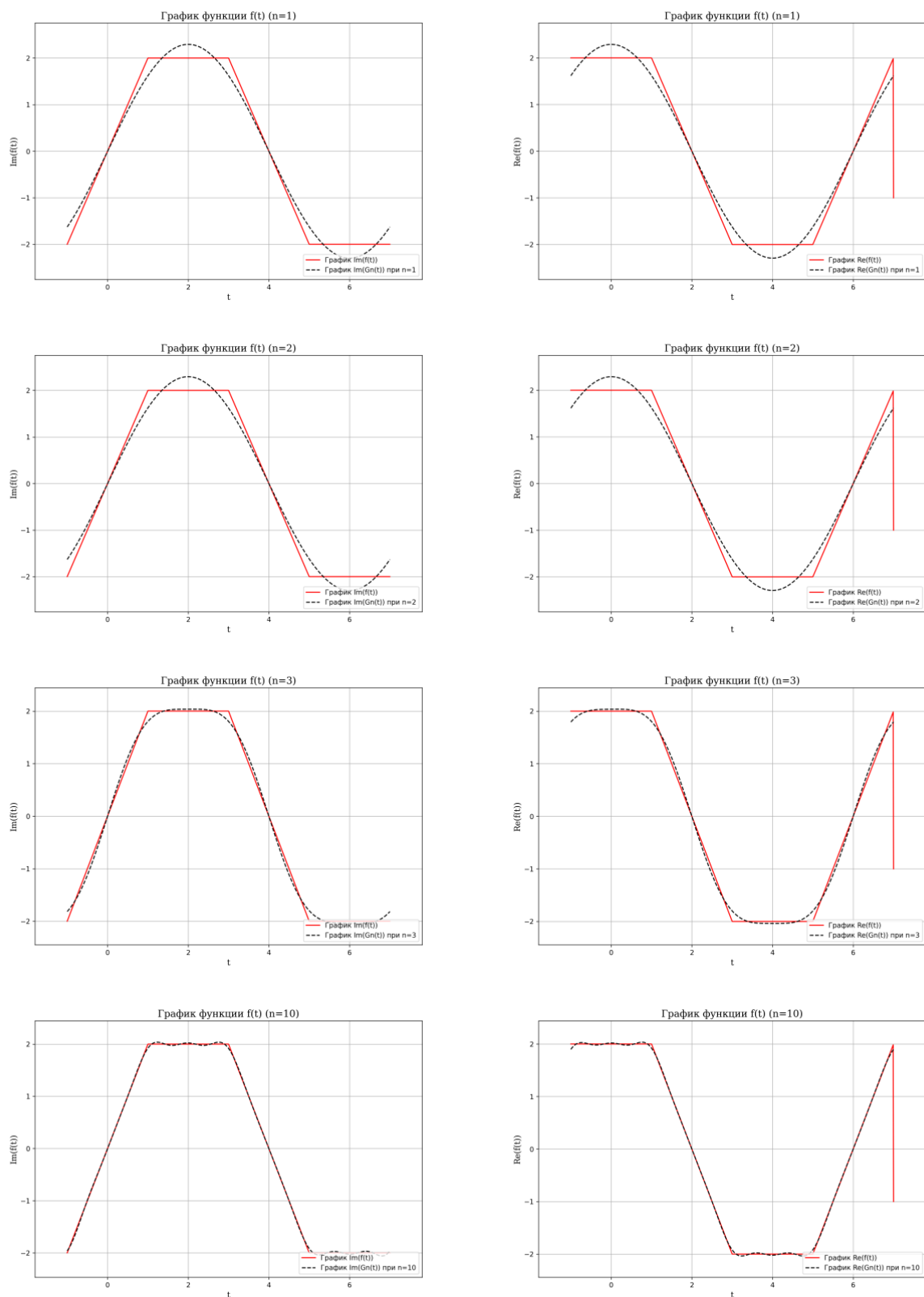


Таблица 15. Общие графики $\text{Ref}(t)$, $\text{Re}G_N(t)$ и $\text{Im}f(t)$, $\text{Im}G_N(t)$

Проанализировав данные графики, можно так же сделать вывод, что большее значение n точнее приближает график частичной суммы Фурье к графику исходной функции. Более того, мы наблюдаем, что увеличение n влечет

более точное сближение как к действительной части функции, так и к мнимой.

Равенство Парсеваля

Для проверки данного равенства воспользуемся программой (см. Листинг 2).

Полученные результаты при $n = 200, 300, 400$

Квадрат нормы $\ f\ ^2$	c_n	n
33.135	33.0899	200
33.135	33.1036	300
33.135	33.1113	400

С увеличением значения n разница становится всё меньше и меньше, поэтому можно говорить о том, при достаточном большом n мы сможем получить значение, равное квадрату нормы. Поэтому равенство Парсеваля выполнено.

Выводы

В результате выполнения мы смогли убедиться в том, что ряд Фурье позволяет с высокой точностью приблизить исходную функцию при использовании достаточного количества элементов ряда. При большем числе элементов точность приближения растет. При этом ряд не гарантирует поточечной сходимости (пример с квадратной волной).

Графики частичных сумм Фурье для вещественного и комплексного представления идентичны. Во всех случаях также удалось подтвердить равенство Парсеваля.